

3 Solução Numérica

Neste capítulo, a estratégia numérica utilizada na solução do problema não-linear descrito no Cap. 2 é discutida. Inicialmente, uma equação de equilíbrio é definida a partir do princípio dos deslocamentos virtuais (PDV) formulado de acordo com o referencial Lagrangiano total e expresso em termos do segundo tensor das tensões de Piolla-Kirchhoff e do tensor das deformações de Green-Lagrange. Essa equação de equilíbrio é posteriormente aproximada através da introdução de variáveis relacionadas à discretização do contínuo por elementos finitos baseados em deslocamentos. A partir dessa aproximação, deduz-se a matriz de rigidez tangente através do método de Newton-Raphson.

A matriz tangente é utilizada para compor uma equação incremental da qual também fazem parte o vetor de forças internas, os vetores de força incremental provenientes das deformações incrementais de origem térmica e devidas à fluência, o vetor de forças externas e o vetor de deslocamentos nodais incrementais. Todos esses conjuntos são particularizados para o elemento finito isoparamétrico bidimensional empregado na análise do estado plano de tensões e no caso axissimétrico. A equação incremental assim definida constitui a base do esquema computacional desenvolvido, cujos passos básicos também são apresentados.

A modelagem incremental do comportamento viscoelástico do material é baseada em um modelo mecânico formado pela associação em série de modelos de Kelvin (Zienkiewicz, 1968). O efeito viscoelástico é incluído através da consideração de um incremento de deformações iniciais.

O problema da não-linearidade geométrica, de uma forma geral, deve ser abordado a partir da consideração de grandes deslocamentos e grandes componentes de deformação. Neste trabalho, entretanto, preserva-se a hipótese de grandes deslocamentos, mas a hipótese de grandes componentes de deformação é descartada, ou seja, $\varepsilon_{ij} \ll 1$ é a situação admitida. É possível, dessa forma, aplicar modelos constitutivos adequados ao regime de deformações infinitesimais.

3.1 Equação de Equilíbrio

Para um sólido deformado em equilíbrio, o princípio dos deslocamentos virtuais (PDV) estabelece que

$$\int_V \delta \varepsilon^T \sigma dV = \int_V \rho \delta u^T q dV + \int_A \delta u^T p dA . \quad (3.1)$$

Neste trabalho, a formulação Lagrangiana total é adotada. As integrais da Eq. (3.1) são, portanto, referentes à área e ao volume do sólido na configuração indeformada, que são aproximadamente iguais ao volume e à área do sólido deformado para o caso de pequenas componentes de deformação. Como medidas de tensão e deformação, o 2º tensor das tensões de Piola-Kirchhoff σ e o tensor das deformações de Green-Lagrange ε são adotados. Essas medidas condizem com a formulação Lagrangiana total. O vetor δu representa uma variação do vetor de deslocamentos em relação à configuração de equilíbrio; $\delta \varepsilon$ é a variação das componentes de deformação, compatível com δu . O vetor q representa as forças de massa atuantes sobre o volume indeformado de densidade ρ , enquanto p é o vetor das forças distribuídas que atuam sobre regiões do contorno do corpo.

3.2 Formulação por Elementos Finitos

As definições utilizadas nessa seção constam no trabalho de Wood & Zienkiewicz (1977). A Eq. (3.1) pode ser aproximada através de uma formulação por elementos finitos baseados em deslocamentos, cuja descrição cinemática é definida pelas seguintes expressões:

$$u = Nd , \quad (3.2)$$

$$\varepsilon = \varepsilon_0 + \varepsilon_L . \quad (3.3)$$

Na Eq. (3.2), o vetor u representa o campo de deslocamentos dos pontos do elemento finito, N é a matriz das funções de interpolação e $d = [d_1 \quad d_2 \quad \dots \quad d_n]$

é o vetor dos n deslocamentos nodais discretos. N e d são definidos com base na configuração indeformada, ou seja, $N = N(x)$ e $d = d(x)$, onde x representa o vetor posição dos pontos materiais do elemento indeformado. As componentes do vetor d devem ser medidas em relação à posição dos nós na configuração indeformada. A variação no vetor u é dada por

$$\delta u = N \delta d, \quad (3.4)$$

Na Eq. (3.3), ε_0 representa a parcela do tensor das deformações de Green-Lagrange que é linear em relação aos gradientes de deslocamentos. Em termos de deslocamentos nodais, esta parcela pode ser definida a partir da seguinte relação:

$$\varepsilon_0 = B_0 d. \quad (3.5)$$

A matriz B_0 contém termos independentes das componentes do vetor d . A Eq. (3.5) é, portanto, linear, e a variação da parcela ε_0 é escrita como

$$\delta \varepsilon_0 = B_0 \delta d. \quad (3.6)$$

Na Eq. (3.3), ε_L representa a parcela não-linear do tensor das deformações de Green-Lagrange, que pode ser expressa a partir de uma matriz A e de um vetor Θ , cujas componentes são gradientes de deslocamentos. Esses conjuntos podem ser particularizados para um elemento finito específico, mas isso será feito posteriormente. Importa, agora, definir a relação:

$$\varepsilon_L = \frac{1}{2} A \Theta, \quad (3.7)$$

cuja variação é aproximada por

$$\delta \varepsilon_L = A \delta \Theta. \quad (3.8)$$

Quando associado a um elemento finito, o vetor Θ pode ser expresso a partir do vetor dos deslocamentos nodais totais d na forma

$$\Theta = Gd, \quad (3.9)$$

onde G contém derivadas cartesianas das funções de interpolação. Uma vez que a Eq. (3.9) é linear em d , pois o vetor Θ é linear em relação aos gradientes de deslocamentos, a variação deste vetor é dada por

$$\delta\Theta = G\delta d. \quad (3.10)$$

Observadas as Eqs. (3.7) a (3.10), a parcela não-linear da Eq. (3.3) pode ser agora definida em relação aos deslocamentos nodais a partir de

$$\varepsilon_L = \frac{1}{2} B_L d, \quad (3.11)$$

e sua variação por

$$\delta\varepsilon_L = B_L \delta d, \quad (3.12)$$

onde

$$B_L = AG. \quad (3.13)$$

Tem-se, portanto, as seguintes relações finais entre as componentes de deformação de Green-Lagrange e os deslocamentos nodais de um dado elemento finito:

$$\varepsilon = \left[B_0 + \frac{1}{2} B_L \right] d, \quad (3.14)$$

para as componentes de deformação total e os deslocamentos nodais totais, e

$$\delta\varepsilon = B \delta d, \quad (3.15)$$

para as respectivas variações, onde

$$B = B_0 + B_L . \quad (3.16)$$

Da substituição das Eqs. (3.4) e (3.15) na Eq. (3.1), obtém-se:

$$\delta d^T \int_V B^T \sigma dV = \delta d^T \int_V N^T \rho q dV + \delta d^T \int_A N^T p dA . \quad (3.17)$$

Uma vez que os deslocamentos virtuais são arbitrários, a seguinte equação de equilíbrio é obtida.

$$\int_V B^T \sigma dV = \int_V N^T \rho q dV + \int_A N^T p dA . \quad (3.18)$$

O lado direito da Eq. (3.18) corresponde a um vetor de forças nodais equivalentes. Na Eq. (3.19), que corresponde à Eq. (3.18) reescrita, esse vetor é representado por F , que deve incorporar as forças diretamente aplicadas nos nós.

$$\Psi = \int_V B^T \sigma dV - F = 0 . \quad (3.19)$$

Neste trabalho, é suficiente considerar uma relação linear elástica entre as componentes de tensão e deformação. Dessa forma, o vetor das tensões e a respectiva variação são dados por

$$\sigma = C \varepsilon , \quad (3.20)$$

$$\delta \sigma = C \delta \varepsilon . \quad (3.21)$$

3.3

Método de Newton-Raphson e Matriz de Rigidez Tangente

A Eq. (3.19) é não-linear. Seja uma estimativa inicial de solução $\Psi[d_i]$ definida através de um vetor de deslocamentos totais d_i , aproxima-se uma solução desejada por $(\Psi[d_i + \Delta d] = 0)$ através de uma expansão em série de Taylor da Eq. (3.19) em torno de d_i , ou seja,

$$\Psi(d_i + \Delta d) = \Psi(d_i) + \left[\frac{\partial \Psi}{\partial d} \right]_i \Delta d, \quad (3.22)$$

onde Δd é um vetor de deslocamentos incrementais e a expansão em série é considerada apenas até o segundo termo. A matriz de rigidez tangente K_T é dada pela derivada do segundo termo à direita da Eq. (3.22), e a definição dos termos dessa matriz depende do vetor d_i . A aproximação $(\Psi[d_i + \Delta d] = 0)$ fornece

$$\left[K_T \right]_i \Delta d = -\Psi(d_i) = F - \left[\int_V B^T \sigma dV \right]_i. \quad (3.23)$$

A parcela à direita da Eq. (3.23) corresponde ao vetor de forças desequilibradas. A partir da Eq. (3.23), o vetor de deslocamento incremental Δd é obtido e empregado na obtenção de uma nova aproximação dada por

$$d_{i+1} = d_i + \Delta d, \quad (3.24)$$

com a qual um dado critério de convergência é testado para verificar a necessidade de uma nova iteração. Este método iterativo recebe o nome de método de Newton-Raphson. Encontra-se comumente associado a soluções incrementais, através do chamado processo incremental-iterativo.

Das Eqs. (3.22) e (3.23), a matriz de rigidez tangente avaliada em $d = d_i$ é dada por

$$K_T = \left[\frac{\partial \Psi}{\partial d} \right]_i. \quad (3.25)$$

Para um vetor F independente dos deslocamentos, apenas a integral da Eq. (3.19), correspondente ao vetor de forças internas, contribui com a matriz tangente. A derivada desse termo fornece

$$K_T = K_o + K_\sigma. \quad (3.26)$$

onde

$$K_o = \int_V B^T C B dV, \quad (3.27)$$

$$K_\sigma = \int_V G^T S G dV, \quad (3.28)$$

3.4 Solução Numérica Incremental

A estratégia de solução numérica adotada está baseada em passos incrementais sem o emprego de métodos iterativos de correção. No entanto, o vetor de forças internas é incluído na formulação. Procedimento similar é empregado por Larsen & Popov (1974) e Chen & Lin (1982). Pode-se dizer que este procedimento equivale ao método de Newton-Raphson com uma única iteração.

O termo incremental pode estar referido a incrementos de carga ou tempo. É adequado e necessário utilizar incrementos de tempo quando o problema estrutural envolve os efeitos da inércia ou quando a relação constitutiva do material requer a inclusão do tempo, como é o caso do material viscoelástico aqui tratado. Para a solução do problema elástico estático, no entanto, pode-se falar em incrementos de carga.

Seja uma configuração de referência conhecida 1C associada a um tempo t . Deseja-se determinar uma configuração 2C , associada ao tempo $t + \Delta t$, através da seguinte aproximação:

$${}^1K_T \Delta d = {}^2F - {}^1F_{int}, \quad (3.29)$$

onde 1K_T é a matriz de rigidez tangente avaliada a partir da substituição dos dados de deslocamento total (vetor 1d) e tensão (vetor ${}^1\sigma$), associados à configuração de referência 1C , nas Eqs. (3.27) e (3.28), e ${}^1F_{int}$ é montado a partir desses mesmos dados quando introduzidos na integral

$$F_{int} = \int_V B^T \sigma dV. \quad (3.30)$$

O vetor 2F da Eq. (3.29) corresponde às forças externas aplicadas no tempo $t + \Delta t$, decorrentes de um incremento de forças aplicado sobre um dado vetor 1F , associado à configuração 1C .

A inclusão de deformações incrementais iniciais de origem térmica ou decorrentes da fluência requer a seguinte modificação na Eq. (3.29) para o cálculo do vetor Δd :

$${}^1K_T \Delta d = {}^2F - {}^1F_{\text{int}} + F^{\text{tr}} + F^{\text{ve}}, \quad (3.31)$$

onde F^{tr} e F^{ve} são dados por

$$F^{\text{tr}} = \int_V B^T C \varepsilon^{\text{tr}} dV, \quad (3.32)$$

$$F^{\text{ve}} = \int_V B^T C \varepsilon^{\text{ve}} dV. \quad (3.33)$$

A inclusão desses vetores na equação incremental decorre da seguinte relação entre incrementos de tensão e deformação (Creus & Marques, 1994):

$$\Delta \sigma = C (\Delta \varepsilon - \varepsilon^{\text{tr}} - \varepsilon^{\text{ve}}). \quad (3.34)$$

onde $\Delta \varepsilon$ corresponde ao incremento total de deformações, ε^{tr} representa as deformações incrementais de origem térmica e ε^{ve} representa a parcela viscoelástica das deformações incrementais.

3.4.1 Implementação Computacional

A implementação computacional da Eq. (3.29) permite o traçado de trajetórias de equilíbrio e o estudo da estabilidade elástica do sistema através de um procedimento simples que verifica, a cada passo incremental, o valor do pivô da matriz de rigidez tangente. Essa verificação tem duplo objetivo: indicar a presença de um ponto de bifurcação ou de um ponto-limite sobre a trajetória, em

decorrência da troca de sinal do pivô, e permitir o controle de carga, conforme discutido na Seção 3.4.2. Os seguintes passos básicos compõem a implementação:

- (a) Montagem da matriz de rigidez tangente e do vetor de forças internas, com base na configuração de referência 1C corrente. No início do processo incremental, a configuração de referência é a configuração indeformada.
- (b) Definição do vetor de cargas a partir da expressão ${}^2F = {}^1\lambda P_r + \Delta\lambda P_r$, onde P_r é um vetor de cargas de referência definido na entrada de dados e λ é um fator de carga, sendo que ${}^1\lambda$ corresponde ao nível de carga na configuração de referência 1C e $\Delta\lambda$ serve para incrementar a carga externa. O sinal de $\Delta\lambda$ depende de uma verificação prévia do sinal do pivô da matriz de rigidez tangente já definida no passo (a).
- (c) Obtenção do vetor de deslocamentos incrementais Δd a partir da Eq. (3.29).
- (d) Obtenção dos incrementos nas componentes de deformação dos elementos, com a mesma matriz B utilizada na montagem da matriz tangente e do vetor de forças internas em 1C : $\Delta\varepsilon = B \Delta d$
- (e) Obtenção dos incrementos nas componentes de tensão dos elementos, a partir da matriz constitutiva elástica C e dos incrementos nas componentes de deformação: $\Delta\sigma = C \Delta\varepsilon$
- (f) Atualização das tensões nos elementos e dos deslocamentos nodais totais: ${}^2\sigma = {}^1\sigma + \Delta\sigma$, ${}^2d = {}^1d + \Delta d$.
- (g) Volta ao passo (a). A nova configuração 1C está agora associada às tensões e deslocamentos totais atualizados no passo (f).

A solução do problema elástico fornece as tensões e os deslocamentos nodais totais associados a um certo nível de carga. Esses dados compõem uma condição inicial que deve ser utilizada para a obtenção da resposta viscoelástica do sistema através de uma implementação computacional baseada na Eq. (3.31). O esquema incremental deve agora considerar incrementos de tempo. O acompanhamento do sinal do pivô da matriz de rigidez tangente passa a ser feito

em cada passo de tempo, agora com o objetivo único de verificar a ocorrência do tempo crítico, conforme observado no Cap. 2 (Seção 2.3).

Embora o programa computacional implementado seja capaz de considerar casos que envolvem variação de temperatura (Ex. 4.2.2) e forças externas nodais (Ex. 4.2.1) variáveis no tempo, o resumo mostrado a seguir considera apenas o caso básico de um vetor de forças externas que é mantido constante após ser aplicado no instante $t = 0$.

- (a) Montagem da matriz de rigidez tangente, do vetor de forças internas e do vetor F^{ve} , com base na configuração de referência 1C . A montagem de F^{ve} deve ser antecedida pela determinação do vetor ε^{ve} , que depende apenas de dados conhecidos em 1C e do valor do incremento de tempo Δt . No início do processo incremental, a configuração de referência é aquela obtida com a solução elástica no tempo $t = 0$. Deve-se considerar que 1C está associada a um tempo t .
- (b) Obtenção do vetor de deslocamentos incrementais Δd a partir da Eq. (3.31). Esse incremento ocorre no intervalo de tempo Δt .
- (c) Obtenção do incremento total de deformação nos elementos, com a mesma matriz B utilizada no passo (a): $\Delta \varepsilon = B \Delta d$.
- (d) Obtenção do incremento de tensões: $\Delta \sigma = C(\Delta \varepsilon - \varepsilon^{ve})$. O vetor incremental ε^{ve} deve ser o mesmo utilizado na montagem do vetor F^{ve} , no passo (a).
- (e) Atualização das componentes de deformação viscoelástica total nos elementos de acordo com o esquema de modelagem do material (discutido mais adiante).
- (f) Atualização das tensões nos elementos e dos deslocamentos nodais totais: ${}^2\sigma = {}^1\sigma + \Delta \sigma$, ${}^2d = {}^1d + \Delta d$. O sobrescrito 2 indica uma nova configuração 2C , associada ao tempo $t + \Delta t$.
- (g) Volta ao passo (a) com a nova configuração de referência, que é composta pelos dados atualizados nos passos (e) e (f).

3.4.2 Controle de Carga

O programa computacional engloba dois procedimentos distintos: a solução incremental do problema elástico, baseada em incrementos de carga, e a solução incremental do problema viscoelástico, baseada em incrementos de tempo e precedida pela solução elástica.

A solução elástica fornece trajetórias de equilíbrio que podem conter pontos críticos do tipo bifurcação ou ponto-limite. Pelo menos para os exemplos da Seção 4.1, o esquema numérico adotado permite encontrar e ultrapassar esses pontos críticos através do acompanhamento, a cada passo incremental, dos valores dos termos que compõem a diagonal da matriz de rigidez tangente.

Um primeiro ponto a considerar diz respeito à magnitude do incremento de carga. Para que o traçado do caminho de equilíbrio seja obtido com uma certa precisão, esses incrementos devem ser suficientemente pequenos, uma vez que nenhum método iterativo de correção é utilizado. Para tentar garantir incrementos de carga suficientemente pequenos, o programa considera um fator $\Delta\lambda$ que decresce à medida que o valor do pivô da matriz de rigidez tangente diminui. Isso ocorre, por exemplo, quando o caminho de equilíbrio se aproxima de um ponto-limite. Deve-se observar que $\Delta\lambda$ é um fator que multiplica uma carga de referência constante, previamente definida na entrada de dados, e dessa multiplicação surge o incremento da carga externa, ou seja, o vetor 2F das Eqs. (3.29) e (3.31) é obtido pela soma ${}^2F = {}^1F + \Delta\lambda P_r$, onde 1F é o vetor de forças nodais na configuração de referência e P_r é um vetor de cargas de referência.

A ultrapassagem de pontos críticos depende também do controle do fator $\Delta\lambda$, mais precisamente do controle sobre o sinal desse fator, que pode ser modificado de acordo com as trocas de sinal do pivô da matriz de rigidez tangente. Esse processo encontra-se automatizado no programa, e pode ser perfeitamente aplicado a sistemas elásticos cujas trajetórias possuem apenas ponto-limite. Sua simplicidade, no entanto, provoca limitações, conforme observado no Ex. 4.1.3.

3.4.3 Incremento de Tempo

O procedimento utilizado na solução do problema viscoelástico é baseado no esquema numérico proposto por Zienkiewicz et al (1968). Durante o incremento de tempo Δt , a tensão e a deformação viscoelástica total são consideradas constantes, com os valores correspondentes ao instante de tempo que antecede o incremento. Esses valores são utilizados para definir o incremento de deformação viscoelástica que ocorre em Δt , conforme descrito na Seção 3.6. Este incremento, por sua vez, é utilizado para montar o vetor F^{ve} da Eq. (3.31), de acordo com a Eq. (3.33). Em todos os exemplos da Seção 4.2, adota-se $\Delta t = 0,01$. A escolha desse valor foi baseada em testes feitos com os exemplos de validação 4.2.1, 4.2.2, 4.2.3.

3.4.4 Validação do Programa Computacional

Implementou-se uma rotina computacional em linguagem Fortran. A validação do modelo está baseada nas observações a seguir.

- Para auxiliar na geração de coordenadas nodais, sobretudo nos exemplos que envolvem arcos, e para verificar os resultados obtidos com modelos elásticos lineares, utilizou-se o programa FEAPPV (<http://www.ce.berkeley.edu/~rlt/feappv>).
- Os resultados dos exemplos da Seção 4.1, exceto o exemplo do cilindro elástico, foram comparados com os resultados obtidos por Wood, & Zienkiewicz (1977). Para o cilindro, considerou-se o valor conhecido da carga crítica. Os dados utilizados constam no trabalho de Hughes et al. (1981).
- A simulação do comportamento viscoelástico (fluência e relaxação) foi verificada a partir dos Exs. 4.2.1. e 4.2.2., cujos resultados analíticos são de fácil obtenção.
- Finalmente, o exemplo da coluna viscoelástica (Ex. 4.2.3) serviu para validar o funcionamento do programa em relação a problemas que envolvem não-linearidade geométrica e viscoelasticidade.

3.5 Elemento Finito

Conhecidas a forma geral da equação incremental e as matrizes e vetores que a compõem, resta particularizar esses termos para o elemento finito isoparamétrico mostrado da Fig. 3.1. As formulações para o estado plano de tensões e para a análise axissimétrica são consideradas.

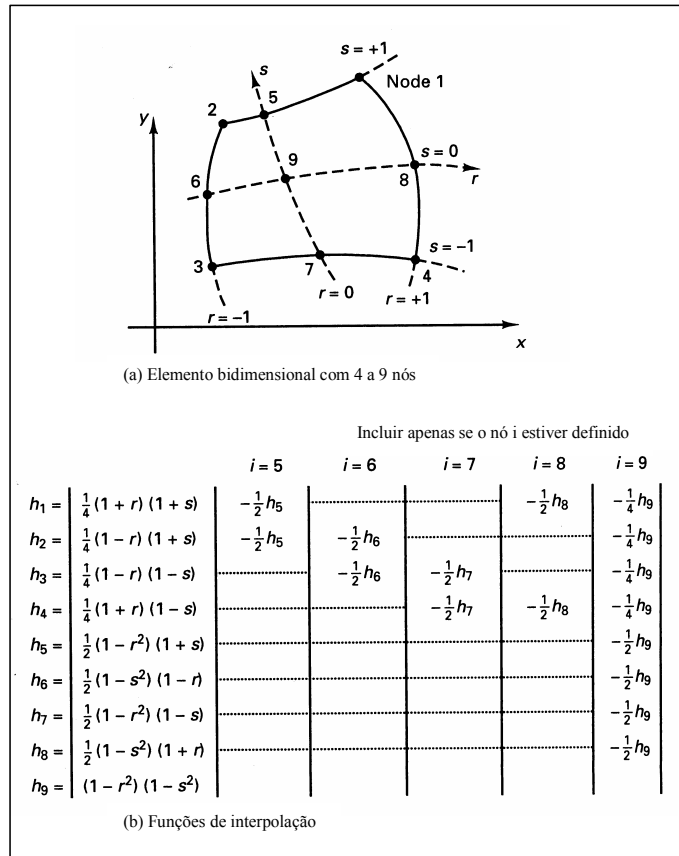


Figura 3.1. – Elemento finito e funções de interpolação (Bathe, 1995).

3.5.1 Descrição cinemática

Seja um sistema cartesiano fixo bidimensional formado pelos eixos (X,Y), e seja um ponto material de um sólido indeformado definido através das coordenadas Lagrangianas

$$\bar{x} = \begin{bmatrix} x \\ y \end{bmatrix}, \tag{3.35}$$

com x e y medidos sobre os eixos X e Y , respectivamente.

Para descrever o comportamento cinemático do elemento bidimensional, é necessário considerar duas componentes para o campo de deslocamentos U :

$$U(\bar{x}) = \begin{bmatrix} u \\ v \end{bmatrix}. \quad (3.36)$$

As componentes de deformação de Green-Lagrange para estados planos são dadas por

$$\varepsilon = \begin{bmatrix} \varepsilon_{xx} \\ \varepsilon_{yy} \\ \gamma_{xy} \end{bmatrix}. \quad (3.37)$$

Para a análise axissimétrica, inclui-se a componente circunferencial ε_{θ} :

$$\varepsilon = \begin{bmatrix} \varepsilon_{xx} \\ \varepsilon_{yy} \\ \gamma_{xy} \\ \varepsilon_{\theta} \end{bmatrix}. \quad (3.38)$$

O vetor ε das deformações pode ser parcelado segundo a Eq. (3.3). Esse desmembramento fornece, para o estado plano de tensões,

$$\varepsilon_o = \begin{bmatrix} \frac{\partial u}{\partial x} \\ \frac{\partial v}{\partial y} \\ \frac{\partial u}{\partial y} + \frac{\partial v}{\partial x} \end{bmatrix}, \quad (3.39.a)$$

$$\varepsilon_L = \begin{bmatrix} \left(\frac{\partial u}{\partial x}\right)^2 + \left(\frac{\partial v}{\partial x}\right)^2 \\ \left(\frac{\partial u}{\partial y}\right)^2 + \left(\frac{\partial v}{\partial y}\right)^2 \\ 2 \left[\left(\frac{\partial u}{\partial x}\right)\left(\frac{\partial u}{\partial y}\right) + \left(\frac{\partial v}{\partial x}\right)\left(\frac{\partial v}{\partial y}\right) \right] \end{bmatrix}, \quad (3.39.b)$$

e, para o estado axissimétrico,

$$\varepsilon_o = \begin{bmatrix} \frac{\partial u}{\partial x} \\ \frac{\partial v}{\partial y} \\ \frac{\partial u}{\partial y} + \frac{\partial v}{\partial x} \\ \frac{u}{x} \end{bmatrix}, \quad (3.40.a)$$

$$\varepsilon_L = \frac{1}{2} \begin{bmatrix} \left(\frac{\partial u}{\partial x}\right)^2 + \left(\frac{\partial v}{\partial x}\right)^2 \\ \left(\frac{\partial u}{\partial y}\right)^2 + \left(\frac{\partial v}{\partial y}\right)^2 \\ 2 \left[\left(\frac{\partial u}{\partial x}\right)\left(\frac{\partial u}{\partial y}\right) + \left(\frac{\partial v}{\partial x}\right)\left(\frac{\partial v}{\partial y}\right) \right] \\ \left(\frac{u}{x}\right)^2 \end{bmatrix}. \quad (3.40.b)$$

Para este último caso, deve-se observar que a coordenada x é definida como a coordenada radial e y faz o papel da coordenada axial (geralmente referida como coordenada z).

Introduz-se uma matriz A e um vetor Θ , cujas componentes são gradientes de deslocamentos devidamente arranjados, para que as parcelas não-lineares de ε , dadas por (3.39.b) e (3.40.b), sejam reescritas de acordo com a Eq. (3.7). Dessa forma,

$$A = \begin{bmatrix} \frac{\partial u}{\partial x} & \frac{\partial v}{\partial x} & 0 & 0 \\ 0 & 0 & \frac{\partial u}{\partial y} & \frac{\partial v}{\partial y} \\ \frac{\partial u}{\partial y} & \frac{\partial v}{\partial y} & \frac{\partial u}{\partial x} & \frac{\partial v}{\partial x} \end{bmatrix}, \quad (3.41.a)$$

$$\Theta = \begin{bmatrix} \frac{\partial u}{\partial x} \\ \frac{\partial v}{\partial x} \\ \frac{\partial u}{\partial y} \\ \frac{\partial v}{\partial y} \end{bmatrix}, \quad (3.41.b)$$

para o estado plano de tensões e

$$A = \begin{bmatrix} \frac{\partial u}{\partial x} & \frac{\partial v}{\partial x} & 0 & 0 & 0 \\ 0 & 0 & \frac{\partial u}{\partial y} & \frac{\partial v}{\partial y} & 0 \\ \frac{\partial u}{\partial y} & \frac{\partial v}{\partial y} & \frac{\partial u}{\partial x} & \frac{\partial v}{\partial x} & 0 \\ 0 & 0 & 0 & 0 & \frac{u}{x} \end{bmatrix}, \quad (3.42.a)$$

$$\Theta = \begin{bmatrix} \frac{\partial u}{\partial x} \\ \frac{\partial v}{\partial x} \\ \frac{\partial u}{\partial y} \\ \frac{\partial v}{\partial y} \\ \frac{u}{x} \end{bmatrix}. \quad (3.42.b)$$

para o estado axissimétrico.

São também definidas as matrizes

$$H_1 = \begin{bmatrix} 1 & 0 & 0 & 0 \\ 0 & 1 & 0 & 0 \\ 0 & 0 & 0 & 0 \\ 0 & 0 & 0 & 0 \end{bmatrix}, \quad H_2 = \begin{bmatrix} 0 & 0 & 0 & 0 \\ 0 & 0 & 0 & 0 \\ 0 & 0 & 1 & 0 \\ 0 & 0 & 0 & 1 \end{bmatrix}, \quad H_3 = \begin{bmatrix} 0 & 0 & 1 & 0 \\ 0 & 0 & 0 & 1 \\ 1 & 0 & 0 & 0 \\ 0 & 1 & 0 & 0 \end{bmatrix}, \quad (3.43)$$

para o estado plano de tensões, e

$$H_1 = \begin{bmatrix} 1 & 0 & 0 & 0 & 0 \\ 0 & 1 & 0 & 0 & 0 \\ 0 & 0 & 0 & 0 & 0 \\ 0 & 0 & 0 & 0 & 0 \\ 0 & 0 & 0 & 0 & 0 \end{bmatrix}, \quad H_2 = \begin{bmatrix} 0 & 0 & 0 & 0 & 0 \\ 0 & 0 & 0 & 0 & 0 \\ 0 & 0 & 1 & 0 & 0 \\ 0 & 0 & 0 & 1 & 0 \\ 0 & 0 & 0 & 0 & 0 \end{bmatrix}, \quad H_3 = \begin{bmatrix} 0 & 0 & 1 & 0 & 0 \\ 0 & 0 & 0 & 1 & 0 \\ 1 & 0 & 0 & 0 & 0 \\ 0 & 1 & 0 & 0 & 0 \\ 0 & 0 & 0 & 0 & 0 \end{bmatrix}, \quad H_4 = \begin{bmatrix} 0 & 0 & 0 & 0 & 0 \\ 0 & 0 & 0 & 0 & 0 \\ 0 & 0 & 0 & 0 & 0 \\ 0 & 0 & 0 & 0 & 0 \\ 0 & 0 & 0 & 0 & 1 \end{bmatrix}, \quad (3.44)$$

para o estado axissimétrico, com as quais é possível escrever cada linha A_i das matrizes A , definidas nas Eqs. (3.41.a) e (3.42.a), através, respectivamente, das expressões

$$A_{i(1 \times 4)} = \Theta^T H_i, i = 1 \dots 3, \quad (3.45)$$

$$A_{i(1 \times 5)} = \Theta^T H_i, i = 1 \dots 4, \quad (3.46)$$

ou seja,

$$A = \begin{bmatrix} \Theta^T H_1 \\ \Theta^T H_2 \\ \Theta^T H_3 \\ \Theta^T H_4 \end{bmatrix}, \quad (3.47)$$

onde a última linha em (3.47) surge apenas para o caso axissimétrico.

A matriz G da Eq. (3.9) é dada por

$$G = \begin{bmatrix} \frac{\partial N_1}{\partial x} & 0 & \dots & \dots & \frac{\partial N_n}{\partial x} & 0 \\ 0 & \frac{\partial N_1}{\partial x} & \dots & \dots & 0 & \frac{\partial N_n}{\partial x} \\ \frac{\partial N_1}{\partial y} & 0 & \dots & \dots & \frac{\partial N_n}{\partial y} & 0 \\ 0 & \frac{\partial N_1}{\partial y} & \dots & \dots & 0 & \frac{\partial N_n}{\partial y} \end{bmatrix}, \quad (3.48)$$

para o estado plano de tensões, e

$$G = \begin{bmatrix} \frac{\partial N_1}{\partial x} & 0 & \dots & \dots & \frac{\partial N_n}{\partial x} & 0 \\ 0 & \frac{\partial N_1}{\partial x} & \dots & \dots & 0 & \frac{\partial N_n}{\partial x} \\ \frac{\partial N_1}{\partial y} & 0 & \dots & \dots & \frac{\partial N_n}{\partial y} & 0 \\ 0 & \frac{\partial N_1}{\partial y} & \dots & \dots & 0 & \frac{\partial N_n}{\partial y} \\ \frac{N_1}{x} & 0 & \dots & \dots & \frac{N_n}{x} & 0 \end{bmatrix}, \quad (3.49)$$

para o estado axissimétrico. $N_i(x,y)$ representa a função de interpolação referente ao nó i. O vetor das n componentes de deslocamento nodal do elemento é dado por

$$d = \begin{bmatrix} u_1 \\ v_1 \\ \dots \\ \dots \\ u_n \\ v_n \end{bmatrix}. \quad (3.50)$$

3.5.2 Matriz de Rigidez Tangente

Com o auxílio dos vetores e matrizes definidos na Seção 3.5.1, são agora deduzidas as parcelas que compõem a matriz de rigidez tangente do elemento finito adotado, de acordo com as Eqs. (3.26) a (3.28).

3.5.2.1 Estado Plano de Tensões

Seja 1d o vetor de deslocamentos nodais totais do elemento com n graus de liberdade em uma configuração de equilíbrio de referência 1C conhecida, dado por

$${}^1d = \begin{bmatrix} {}^1u_1 \\ {}^1v_1 \\ \dots \\ \dots \\ {}^1u_n \\ {}^1v_n \end{bmatrix}. \quad (3.51)$$

Seja ${}^1\sigma$ o vetor das tensões atuantes nessa mesma configuração, dado por

$${}^1\sigma = \begin{bmatrix} {}^1\sigma_{xx} \\ {}^1\sigma_{yy} \\ {}^1\tau_{xy} \end{bmatrix} \quad (3.52)$$

Com o auxílio das matrizes H_i definidas em (3.43) e do vetor definido na Eq. (3.52), monta-se uma matriz 1S a partir do somatório

$${}^1S = \sum_i {}^1\sigma_i H_i = {}^1\sigma_{xx} H_1 + {}^1\sigma_{yy} H_2 + {}^1\tau_{xy} H_3, \quad (3.53)$$

ou seja,

$${}^1S = \begin{bmatrix} {}^1\sigma_{xx} & 0 & {}^1\tau_{xy} & 0 \\ 0 & {}^1\sigma_{xx} & 0 & {}^1\tau_{xy} \\ {}^1\tau_{xy} & 0 & {}^1\sigma_{yy} & 0 \\ 0 & {}^1\tau_{xy} & 0 & {}^1\sigma_{yy} \end{bmatrix}. \quad (3.54)$$

Com a substituição das Eqs. (3.54) e (3.48) na Eq. (3.28), obtém-se a matriz de rigidez geométrica K_G do elemento, referente à configuração 1C .

As matrizes B_0 e B_L da Eq. (3.16) são dadas por

$$B_0 = \begin{bmatrix} \frac{\partial N_1}{\partial x} & 0 & \dots & \dots & \frac{\partial N_n}{\partial x} & 0 \\ 0 & \frac{\partial N_1}{\partial y} & \dots & \dots & 0 & \frac{\partial N_n}{\partial y} \\ \frac{\partial N_1}{\partial y} & \frac{\partial N_1}{\partial x} & \dots & \dots & \frac{\partial N_n}{\partial x} & \frac{\partial N_n}{\partial y} \end{bmatrix}, \quad (3.55)$$

$$B_L = {}^1AG, \quad (3.56)$$

A Eq. (3.9), particularizada para a configuração de referência 1C , é dada por

$${}^1\Theta = G {}^1d, \quad (3.57)$$

onde o vetor 1d é dado em (3.51) e a matriz G é dada em (3.48).

A substituição de ${}^1\Theta$ na Eq. (3.45) fornece

$${}^1A = \begin{bmatrix} {}^1\Theta^T H_1 \\ {}^1\Theta^T H_2 \\ {}^1\Theta^T H_3 \end{bmatrix}. \quad (3.58)$$

que pode então ser substituída na Eq. (3.56).

Com B_0 e B_L obtidas (Eqs. (3.55) e (3.56)), tem-se o seguinte parcelamento da matriz K_0 :

$$K_o = K0 + K1 + K2, \quad (3.59)$$

onde

$$K0 = \int_A q B_0^T C B_0 dx dy, \quad (3.60)$$

$$K1 = \int_A q \left(B_0^T C B_L + B_L^T C B_0 \right) dx dy, \quad (3.61)$$

$$K2 = \int_A q B_L^T C B_L dx dy, \quad (3.62)$$

e com as substituições das Eqs. (3.48) e (3.54) na Eq. (3.28), a forma final da matriz K_o é obtida:

$$K_{\sigma} = \int_A q G^T {}^1S G dx dy. \quad (3.63)$$

onde q representa a espessura do elemento, $dA = dx dy$ representa uma área infinitesimal da superfície do elemento e C é a matriz constitutiva elástica relacionada ao estado plano de tensões.

Com isso, está definida a matriz de rigidez tangente para a análise do estado plano de tensões. Apenas dados relativos a uma configuração de referência 1C conhecida são necessários: o vetor 1d , utilizado para montar a matriz B_L , e o vetor ${}^1\sigma$, utilizado para montar a matriz 1S .

3.5.2.2 Estado Axissimétrico

Seja ${}^1\sigma$ o vetor das tensões atuantes na configuração de referência 1C , com σ_{θ} correspondendo à componente circunferencial, dado por

$${}^1\sigma = \begin{bmatrix} {}^1\sigma_{xx} \\ {}^1\sigma_{yy} \\ {}^1\tau_{xy} \\ {}^1\sigma_{\theta} \end{bmatrix}. \quad (3.64)$$

Com o auxílio das matrizes H_i definidas em (3.44) e do vetor definido na Eq. (3.64), monta-se uma matriz 1S a partir do somatório

$${}^1S = \sum_i {}^1\sigma_i H_i = {}^1\sigma_{xx} H_1 + {}^1\sigma_{yy} H_2 + {}^1\tau_{xy} H_3 + {}^1\sigma_\theta H_4, \quad (3.65)$$

ou seja,

$${}^1S = \begin{bmatrix} {}^1\sigma_{xx} & 0 & {}^1\tau_{xy} & 0 & 0 \\ 0 & {}^1\sigma_{xx} & 0 & {}^1\tau_{xy} & 0 \\ {}^1\tau_{xy} & 0 & {}^1\sigma_{yy} & 0 & 0 \\ 0 & {}^1\tau_{xy} & 0 & {}^1\sigma_{yy} & 0 \\ 0 & 0 & 0 & 0 & {}^1\sigma_\theta \end{bmatrix}. \quad (3.66)$$

Com a substituição das Eqs. (3.49) e (3.66) na Eq. (3.28), obtém-se a matriz de rigidez geométrica K_G do elemento, referente à configuração 1C .

As matrizes B_0 e B_L da Eq. (3.16) são dadas por

$$B_0 = \begin{bmatrix} \frac{\partial N_1}{\partial x} & 0 & \dots & \dots & \dots & \dots & \frac{\partial N_n}{\partial x} & 0 \\ 0 & \frac{\partial N_1}{\partial y} & \dots & \dots & \dots & \dots & 0 & \frac{\partial N_n}{\partial y} \\ \frac{\partial N_1}{\partial y} & \frac{\partial N_1}{\partial x} & \dots & \dots & \dots & \dots & \frac{\partial N_n}{\partial x} & \frac{\partial N_n}{\partial y} \\ \frac{N_1}{x} & 0 & \dots & \dots & \dots & \dots & \frac{N_n}{x} & 0 \end{bmatrix}, \quad (3.67)$$

$$B_L = {}^1AG. \quad (3.68)$$

A Eq. (3.9), particularizada para a configuração de referência 1C , é dada por

$${}^1\Theta = G {}^1d, \quad (3.69)$$

onde o vetor 1d é dado em (3.51) e a matriz G é dada em (3.49).

A substituição de ${}^1\Theta$ na Eq. (3.46) fornece

$${}^1A = \begin{bmatrix} {}^1\Theta^T H_1 \\ {}^1\Theta^T H_2 \\ {}^1\Theta^T H_3 \\ {}^1\Theta^T H_4 \end{bmatrix}. \quad (3.70)$$

que pode então ser substituída na Eq. (3.68).

Com B_0 e B_L obtidas (Eqs. (3.67) e (3.68)), tem-se o seguinte parcelamento da matriz K_0 :

$$K_0 = K0 + K1 + K2. \quad (3.71)$$

Uma formulação axissimétrica deve ser expressa em termos das coordenadas cilíndricas x (coordenada radial), y (coordenada axial) e θ (coordenada circunferencial). A condição de axissimetria permite admitir que as funções presentes nas integrais que originam os termos de rigidez e força dependem apenas das coordenadas x e y , isto é, essas funções são independentes da coordenada circunferencial θ . Dessa forma, reduz-se um problema tridimensional a um problema bidimensional, e a formulação pode, então, ser obtida a partir do elemento finito da Fig. 3.1. É necessário, entretanto, multiplicar o termo $2\pi x$ (ou $2\pi r$, $r =$ raio) às integrais de rigidez e força. Uma vez que 2π é um termo constante e comum a todas as integrais, é possível retirá-lo da formulação, o que equivale a estabelecer as integrais sobre um intervalo, segundo a coordenada θ , de zero a $1rd$. Com esta aproximação, a carga externa aplicada deve ser aquela que atua sobre um segmento de $1rd$ (Cook et al., 1989). Sendo assim, as matrizes da Eq. (3.71) e a matriz de rigidez geométrica são dadas por:

$$K0 = \int_A x B_0^T C B_0 dx dy, \quad (3.72)$$

$$K1 = \int_A x (B_0^T C B_L + B_L^T C B_0) dx dy, \quad (3.73)$$

$$K2 = \int_A x B_L^T C B_L dx dy, \quad (3.74)$$

$$K_{\sigma} = \int_A x G^T {}^1S G dx dy, \quad (3.75)$$

onde x é a coordenada radial, $dA = dx dy$ representa uma área infinitesimal da superfície do elemento e C é a matriz constitutiva elástica referente ao estado axissimétrico.

3.5.3 Vetores de Forças

Com a substituição das matrizes B_0 e B_L definidas na Seção 3.5.2 nas Eqs. (3.30), (3.32) e (3.33), obtém-se

$${}^1F_{int} = \int_A q (B_0 + B_L)^T {}^1\sigma dx dy, \quad (3.76)$$

$$F^{tr} = \int_A q (B_0 + B_L)^T C \varepsilon^{tr} dx dy, \quad (3.77)$$

$$F^{ve} = \int_A q (B_0 + B_L)^T C \varepsilon^{ve} dx dy, \quad (3.78)$$

para o estado plano de tensões, e

$${}^1F_{int} = \int_A x (B_0 + B_L)^T {}^1\sigma dx dy, \quad (3.79)$$

$$F^{tr} = \int_A x (B_0 + B_L)^T C \varepsilon^{tr} dx dy, \quad (3.80)$$

$$F^{ve} = \int_A x (B_0 + B_L)^T C \varepsilon^{ve} dx dy, \quad (3.81)$$

para o estado axissimétrico, observadas as diferenças entre as matrizes B_0 , B_L e C , definidas em 3.5.2.1. e 3.5.2.2.

Os incrementos nas deformações de origem térmica são obtidos com as expressões (Bathe, 1995)

$$\varepsilon^{tr} = \alpha \begin{bmatrix} 1 \\ 1 \\ 0 \end{bmatrix} \left[\sum_{i=1}^m N_i ({}^2T_i - {}^1T_i) \right], \quad (3.82)$$

$$\varepsilon^{tr} = \alpha \begin{bmatrix} 1 \\ 1 \\ 0 \\ 1 \end{bmatrix} \left[\sum_{i=1}^m N_i ({}^2T_i - {}^1T_i) \right], \quad (3.83)$$

para o estado plano de tensões e para o caso axissimétrico, respectivamente.

Nas Eqs. (3.82) e (3.83), N_i é a i -ésima função de interpolação do elemento, m é a quantidade de nós do elemento, 2T_i e 1T_i são temperaturas nodais nos instantes $t+\Delta t$ e t , respectivamente, e α representa o coeficiente de dilatação térmica do material. Para um esquema de solução envolvendo integração numérica, cada função N_i associada a um nó i deve ser definida nos pontos de integração, enquanto 2T_i e 1T_i são valores retirados diretamente do nó i . Dessa forma, o produto $N_i T_i$ passa a representar a temperatura interpolada sobre o ponto de integração. Obtido o incremento ε^{tr} , o vetor de forças F^{tr} fica definido. Para que o vetor F^{ve} seja definido, é necessário conhecer o incremento ε^{ve} . Esta variável depende da modelagem do material, que será discutida na Seção 3.6.

3.5.4 Integração numérica

Um procedimento básico da formulação por elementos finitos isoparamétricos consiste em expressar as coordenadas e os deslocamentos com o auxílio de funções de interpolação deduzidas em um sistema natural de coordenadas.

Para um elemento finito bidimensional, a interpolação das coordenadas cartesianas (x,y) de um ponto qualquer do elemento é definida como

$$x = \sum_{i=1}^m h_i(r,s)x_i, \quad y = \sum_{i=1}^m h_i(r,s)y_i \quad (3.84)$$

onde x_i e y_i são as coordenadas cartesianas dos pontos nodais do elemento, h_i são as funções de interpolação da Fig. 3.1.b, definidas em termos de coordenadas naturais r e s , e m é a quantidade de nós do elemento.

A regra da cadeia relaciona derivadas em relação às coordenadas r e s com as derivadas em relação às coordenadas x e y através da expressão

$$\begin{bmatrix} \frac{\partial}{\partial r} \\ \frac{\partial}{\partial s} \end{bmatrix} = J \begin{bmatrix} \frac{\partial}{\partial x} \\ \frac{\partial}{\partial y} \end{bmatrix}, \quad (3.85)$$

onde J é o operador Jacobiano definido como

$$J = \begin{bmatrix} \frac{\partial x}{\partial r} & \frac{\partial y}{\partial r} \\ \frac{\partial x}{\partial s} & \frac{\partial y}{\partial s} \end{bmatrix} = \begin{bmatrix} \sum_{i=1}^m \frac{\partial h_i}{\partial r} x_i & \sum_{i=1}^m \frac{\partial h_i}{\partial r} y_i \\ \sum_{i=1}^m \frac{\partial h_i}{\partial s} x_i & \sum_{i=1}^m \frac{\partial h_i}{\partial s} y_i \end{bmatrix}. \quad (3.86)$$

Para encontrar as derivadas das funções de interpolação em relação a x e y , é necessário inverter a matriz J para obter

$$\begin{bmatrix} \frac{\partial h_i}{\partial x} \\ \frac{\partial h_i}{\partial y} \end{bmatrix} = \frac{1}{\det J} \begin{bmatrix} \frac{\partial y}{\partial s} & -\frac{\partial y}{\partial r} \\ -\frac{\partial x}{\partial s} & \frac{\partial x}{\partial r} \end{bmatrix} \begin{bmatrix} \frac{\partial h_i}{\partial r} \\ \frac{\partial h_i}{\partial s} \end{bmatrix}. \quad (3.87)$$

A utilização de coordenadas naturais leva a novos limites de integração nas expressões que definem as matrizes e vetores que compõem a equação de equilíbrio incremental. Dessa forma, as matrizes (3.60) a (3.63), (3.72) a (3.75), e os vetores (3.76) a (3.81) são reescritos, respectivamente, como

$$K_0 = \int_{-1}^{+1} \int_{-1}^{+1} q \left(B_0^T C B_0 \right) \det J \, dr \, ds, \quad (3.88)$$

$$K_1 = \int_{-1}^{+1} \int_{-1}^{+1} q \left(B_0^T C B_L + B_L^T C B_0 \right) \det J \, dr \, ds, \quad (3.89)$$

$$K2 = \int_{-1}^{+1} \int_{-1}^{+1} q \left(B_L^T C B_L \right) \det J \, dr \, ds, \quad (3.90)$$

$$K\sigma = \int_{-1}^{+1} \int_{-1}^{+1} q G^T {}^1S G \det J \, dr \, ds, \quad (3.91)$$

$$K0 = \int_{-1}^{+1} \int_{-1}^{+1} x \left(B_0^T C B_0 \right) \det J \, dr \, ds, \quad (3.92)$$

$$K1 = \int_{-1}^{+1} \int_{-1}^{+1} x \left(B_0^T C B_L + B_L^T C B_0 \right) \det J \, dr \, ds, \quad (3.93)$$

$$K2 = \int_{-1}^{+1} \int_{-1}^{+1} x \left(B_L^T C B_L \right) \det J \, dr \, ds, \quad (3.94)$$

$$K\sigma = \int_{-1}^{+1} \int_{-1}^{+1} x G^T {}^1S G \det J \, dr \, ds, \quad (3.95)$$

$${}^1F_{int} = \int_{-1}^{+1} \int_{-1}^{+1} q \left(B_0 + B_L \right)^T {}^1\sigma \det J \, dr \, ds, \quad (3.96)$$

$$F^{tr} = \int_{-1}^{+1} \int_{-1}^{+1} q \left(B_0 + B_L \right)^T C \varepsilon^{tr} \det J \, dr \, ds, \quad (3.97)$$

$$F^{ve} = \int_{-1}^{+1} \int_{-1}^{+1} q \left(B_0 + B_L \right)^T C \varepsilon^{ve} \det J \, dr \, ds. \quad (3.98)$$

$${}^1F_{int} = \int_{-1}^{+1} \int_{-1}^{+1} x \left(B_0 + B_L \right)^T {}^1\sigma \det J \, dr \, ds, \quad (3.99)$$

$$F^{tr} = \int_{-1}^{+1} \int_{-1}^{+1} x \left(B_0 + B_L \right)^T C \varepsilon^{tr} \det J \, dr \, ds, \quad (3.100)$$

$$F^{ve} = \int_{-1}^{+1} \int_{-1}^{+1} x \left(B_0 + B_L \right)^T C \varepsilon^{ve} \det J \, dr \, ds. \quad (3.101)$$

onde a coordenada $x = x(r,s)$, e a espessura q pode também ser variável.

A solução destas integrações é obtida por meio da seguinte regra de integração numérica:

$$\int_{-1}^{+1} \int_{-1}^{+1} f(r,s) \, dr \, ds = \sum_i \sum_j \alpha_i \alpha_j f(r_i, s_j) \quad (3.102)$$

onde r_i e s_j são as coordenadas dos pontos de integração de Gauss, e α_i e α_j são os respectivos pesos de integração.

3.6 Modelagem do Comportamento Viscoelástico

O modelo viscoelástico adotado é mostrado na Fig. 3.2. As expressões definidas a seguir são retiradas do trabalho de Zienkiewicz et al. (1968).

O modelo mecânico da Fig. 3.2 é composto por n unidades de Kelvin-Voigt associadas em série. A i -ésima unidade é composta por uma mola de constante E_i e por um amortecedor viscoso representado pela constante de viscosidade η_i . O modelo mecânico sugere que uma tensão σ atua igualmente em cada uma das n unidades. A deformação de cada unidade i é representada por ε_c^i . Cada componente ε_c^i é governada por uma equação de evolução no tempo, dependente de E_i e η_i , dada por

$$\dot{\varepsilon}_c^i = \frac{1}{\eta_i} \sigma - \frac{E_i}{\eta_i} \varepsilon_c^i. \quad (3.103)$$

Ao se adotar um intervalo de tempo Δt suficientemente pequeno, pode-se utilizar a Eq. (3.103) para aproximar os incrementos de deformação para cada unidade do modelo a partir da equação

$$\Delta \varepsilon_c^i = \left[\frac{1}{\eta_i} \sigma - \frac{E_i}{\eta_i} \varepsilon_c^i \right] \Delta t. \quad (3.104)$$

Se a tensão σ e a deformação total ε_c^i são valores conhecidos em um determinado instante de tempo t , calcula-se $\Delta \varepsilon_c^i$ a partir de (3.104).

Uma vez que a deformação total do modelo na Fig. 3.2 é obtida através da soma da deformação de todas as unidades, a deformação total por fluência para um intervalo de tempo Δt é dada pela Eq. (3.105).

$$\varepsilon^{ve} = \sum_{i=1}^n \Delta \varepsilon_c^i = \left[\left(\sum_{i=1}^n \frac{1}{\eta_i} \right) \sigma - \left(\sum_{i=1}^n \frac{E_i}{\eta_i} \varepsilon_c^i \right) \right] \Delta t. \quad (3.105)$$

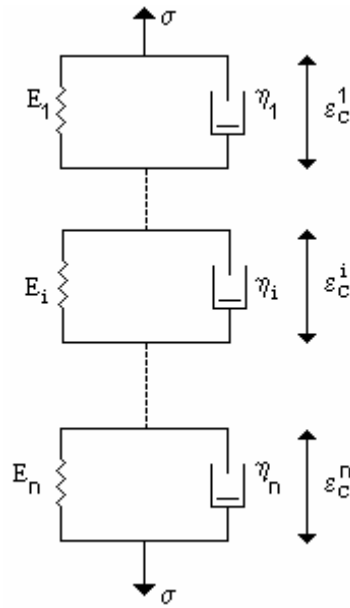


Figura 3.2. – Modelo viscoelástico.

A descrição acima considera um estado uniaxial de tensão. Pode, entretanto, ser generalizada para uma condição multiaxial. Essa generalização pode ser empregada na análise dos casos de axissimetria e estado plano de tensões.

Sabe-se que a Eq. (3.103) pode ser obtida a partir da expressão

$$\epsilon_c^i = \left(\frac{1/\eta_i}{D + E_i/\eta_i} \right) \sigma, \tag{3.106}$$

onde D representa um operador diferencial relacionado ao tempo, de tal forma que

$$D[\epsilon_c^i] + \frac{E_i}{\eta_i} \epsilon_c^i = \frac{1}{\eta_i} \sigma \Rightarrow \epsilon_c^i + \frac{E_i}{\eta_i} \epsilon_c^i = \frac{1}{\eta_i} \sigma. \tag{3.107}$$

Considera-se agora a expressão

$$\epsilon_c^i = \frac{1}{E_i} [A] \sigma, \tag{3.108}$$

onde ϵ_c e σ são vetores, e não mais quantidades escalares. [A] é uma matriz que contém apenas termos constantes ou dependentes do coeficiente de Poisson. Se o

termo $1/\bar{E}_i$ é agora substituído pelo operador da Eq. (3.106), que multiplica o escalar σ , a Eq. (3.108) é reescrita como

$$\varepsilon_c^i = \left(\frac{1/\eta_i}{D + E_i/\eta_i} \right) [A] \sigma, \quad (3.109)$$

e as equações (3.103), (3.104) e (3.105) são reescritas, respectivamente, nas formas

$$\varepsilon_c^i = \frac{1}{\eta_i} [A] \sigma - \frac{E_i}{\eta_i} \varepsilon_c^i, \quad (3.110)$$

$$\Delta \varepsilon_c^i = \left[\frac{1}{\eta_i} [A] \sigma - \frac{E_i}{\eta_i} \varepsilon_c^i \right] \Delta t, \quad (3.111)$$

$$\varepsilon^{ve} = \sum_{i=1}^n \Delta \varepsilon_c^i = \left[\left(\sum_{i=1}^n \frac{1}{\eta_i} \right) [A] \sigma - \left(\sum_{i=1}^n \frac{E_i}{\eta_i} \varepsilon_c^i \right) \right] \Delta t, \quad (3.112)$$

que estão agora adequadas ao estudo do caso multiaxial, uma vez que ε_c e σ representam vetores, e

$$A = \begin{bmatrix} 1 & -\nu & 0 \\ -\nu & 1 & 0 \\ 0 & 0 & 2(\nu+1) \end{bmatrix}, \quad (3.113)$$

$$A = \begin{bmatrix} 1 & -\nu & 0 & -\nu \\ -\nu & 1 & 0 & -\nu \\ 0 & 0 & 2(\nu+1) & 0 \\ -\nu & -\nu & 0 & 1 \end{bmatrix}. \quad (3.114)$$

para os casos de estado plano de tensões e axissimetria, respectivamente.

A inclusão do modelo descrito na equação incremental é abordada nas Seções 3.4.1 e 3.4.3.